

Ein und Ausgabe: Farbmetrisches Drucker-Reflektiv-System ORS20_95, $L^*=20_95$ für relativen CIELAB-Bunton $h^* = lab^*h^* = h_{ab}/360 = 0.755$ $u^*_e = b00r$

Daten für jede Farbe:

lab^*tch^* und lab^*icu^*

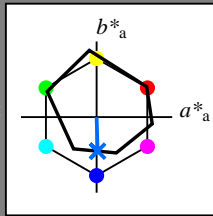
Buntontexte:

$u^*_e = b00r$ $u^*_d = c58v$

Kontrastreduzierungsfaktor:

$c_R = 1.0$

Dreiecks-Helligkeit t^*



ORS20_95a; adaptierte CIELAB-Daten						
u^*_e	$L^*=L^*_a$	a^*_a	b^*_a	$C^*_{ab,a}$	$h^*_{ab,a}$	
O _{Ma}	46.89	66.19	40.28	77.48	31	
Y _{Ma}	88.66	-9.62	88.21	88.73	96	
L _{Ma}	54.22	-65.29	33.87	73.56	153	
C _{Ma}	61.43	-30.53	-42.04	51.96	234	
V _{Ma}	25.93	25.95	-47.37	54.01	299	
M _{Ma}	47.92	73.53	-9.02	74.08	353	
N _{Ma}	20.41	0.0	0.0	0.0	0	
W _{Ma}	94.64	0.0	0.0	0.0	0	
R _{Ma}	39.92	58.74	27.99	65.07	25	
J _{Ma}	81.26	-2.89	71.56	71.62	92	
G _{Ma}	52.23	-42.42	13.6	44.55	162	
B _{Ma}	30.57	1.41	-46.47	46.49	272	

Daten für Maximalfarbe (Ma):

$LAB^*LAB^*_{Ma}$: 41 1 -45

$LAB^*LCH^*_{Ma}$: 41 45 271

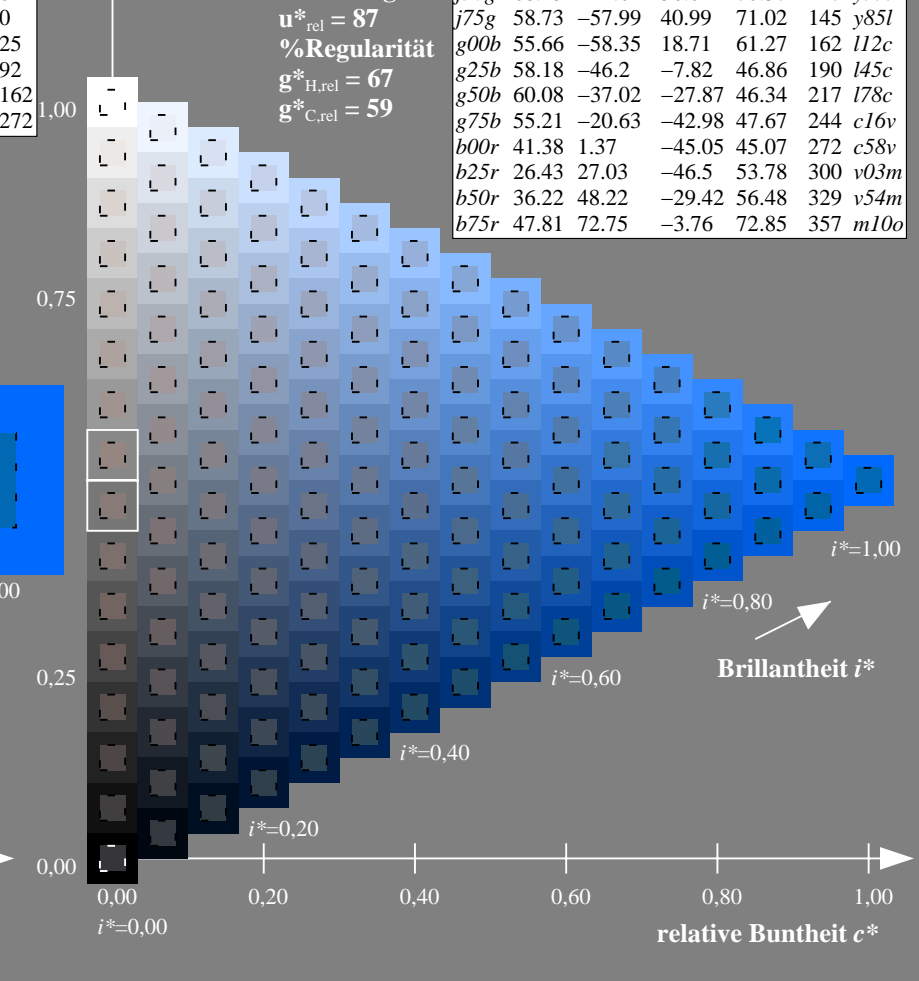
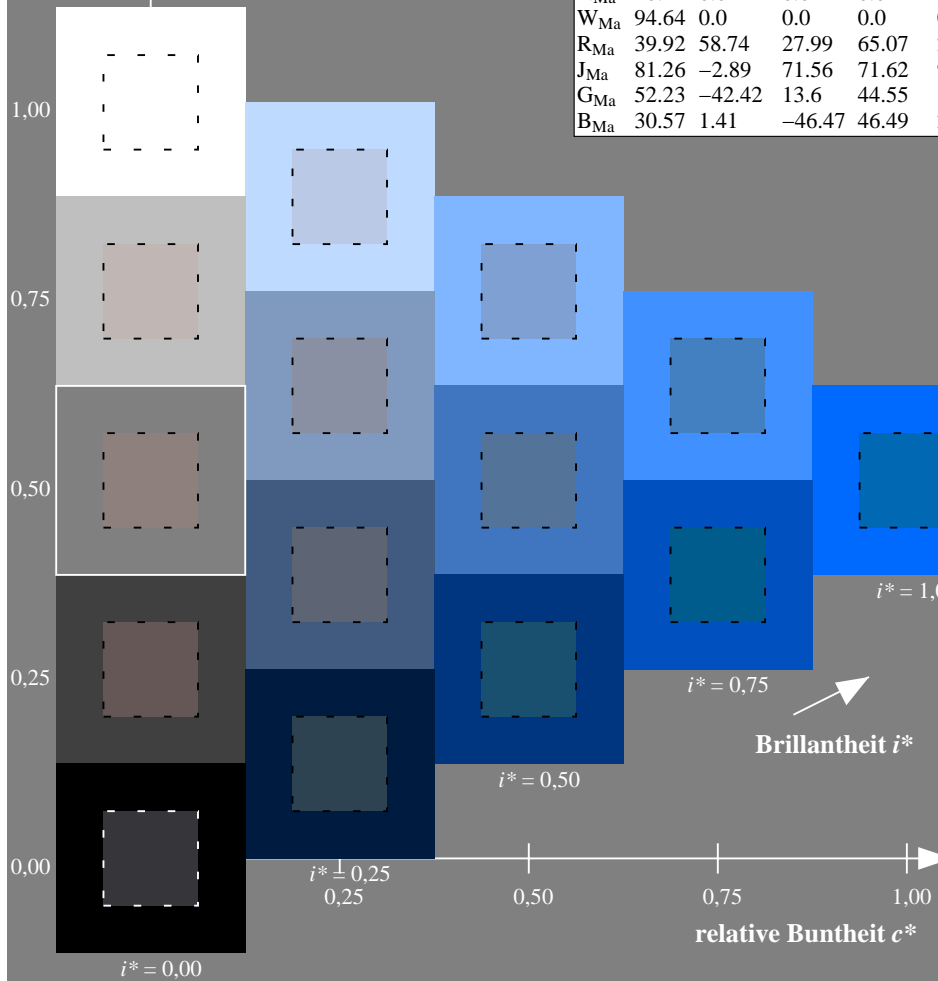
$lab^*rgb^*_{Ma}$: 0.0 0.0 1.0

$lab^*olv^*_{Ma}$: 0.0 0.42 1.0

Dreiecks-Helligkeit t^*

ORS20_95a; adaptierte CIELAB-Daten

u^*_e	$L^*=L^*_a$	a^*_a	b^*_a	$C^*_{ab,a}$	$h^*_{ab,a}$	u^*_d
r00j	47.06	67.41	32.12	74.67	25	m84o
r25j	53.95	53.38	48.38	72.04	42	o17y
r50j	63.6	35.87	59.45	69.43	59	o42y
r75j	73.37	18.14	70.66	72.95	76	o68y
j00g	85.24	-3.4	84.28	84.35	92	o93y
j25g	78.53	-25.99	72.23	76.76	110	y24l
j50g	68.25	-42.61	56.0	70.37	127	y55l
j75g	58.73	-57.99	40.99	71.02	145	y85l
g00b	55.66	-58.35	18.71	61.27	162	l12c
g25b	58.18	-46.2	-7.82	46.86	190	l45c
g50b	60.08	-37.02	-27.87	46.34	217	l78c
g75b	55.21	-20.63	-42.98	47.67	244	c16v
b00r	41.38	1.37	-45.05	45.07	272	c58v
b25r	26.43	27.03	-46.5	53.78	300	v03m
b50r	36.22	48.22	-29.42	56.48	329	v54m
b75r	47.81	72.75	-3.76	72.85	357	m10o



%Umfang
 $u^*_{rel} = 87$
 %Regularität
 $g^*_{H,rel} = 67$
 $g^*_{C,rel} = 59$

Ein und Ausgabe: Farbmatisches Drucker-Reflektiv-System ORS20_95, $L^*=20_95$ für relativen CIELAB-Bunnton $h^* = lab^*h^* = h_{ab}/360 = 0.755$ $u^*_e = b00r$

Daten für jede Farbe:

lab^*tch^* und lab^*icu^*

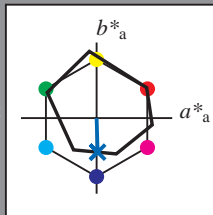
Buntontexte:

$u^*_e = b00r$ $u^*_d = c58v$

Kontrastreduzierungsfaktor:

$c_R = 1.0$

Dreiecks-Helligkeit t^*



ORS20_95a; adaptierte CIELAB-Daten

u^*_e	$L^*=L^*_a$	a^*_a	b^*_a	$C^*_{ab,a}$	$h^*_{ab,a}$
O _{Ma}	46.89	66.19	40.28	77.48	31
Y _{Ma}	88.66	-9.62	88.21	88.73	96
L _{Ma}	54.22	-65.29	33.87	73.56	153
C _{Ma}	61.43	-30.53	-42.04	51.96	234
V _{Ma}	25.93	25.95	-47.37	54.01	299
M _{Ma}	47.92	73.53	-9.02	74.08	353
N _{Ma}	20.41	0.0	0.0	0.0	0
W _{Ma}	94.64	0.0	0.0	0.0	0
R _{Ma}	39.92	58.74	27.99	65.07	25
J _{Ma}	81.26	-2.89	71.56	71.62	92
G _{Ma}	52.23	-42.42	13.6	44.55	162
B _{Ma}	30.57	1.41	-46.47	46.49	272

Daten für Maximalfarbe (Ma):

$LAB^*LAB^*_{Ma}$: 41 1 -45

$LAB^*LCH^*_{Ma}$: 41 45 271

$lab^*rgb^*_{Ma}$: 0.0 0.0 1.0

$lab^*olv^*_{Ma}$: 0.0 0.42 1.0

Dreiecks-Helligkeit t^*

%Umfang

$u^*_{rel} = 87$

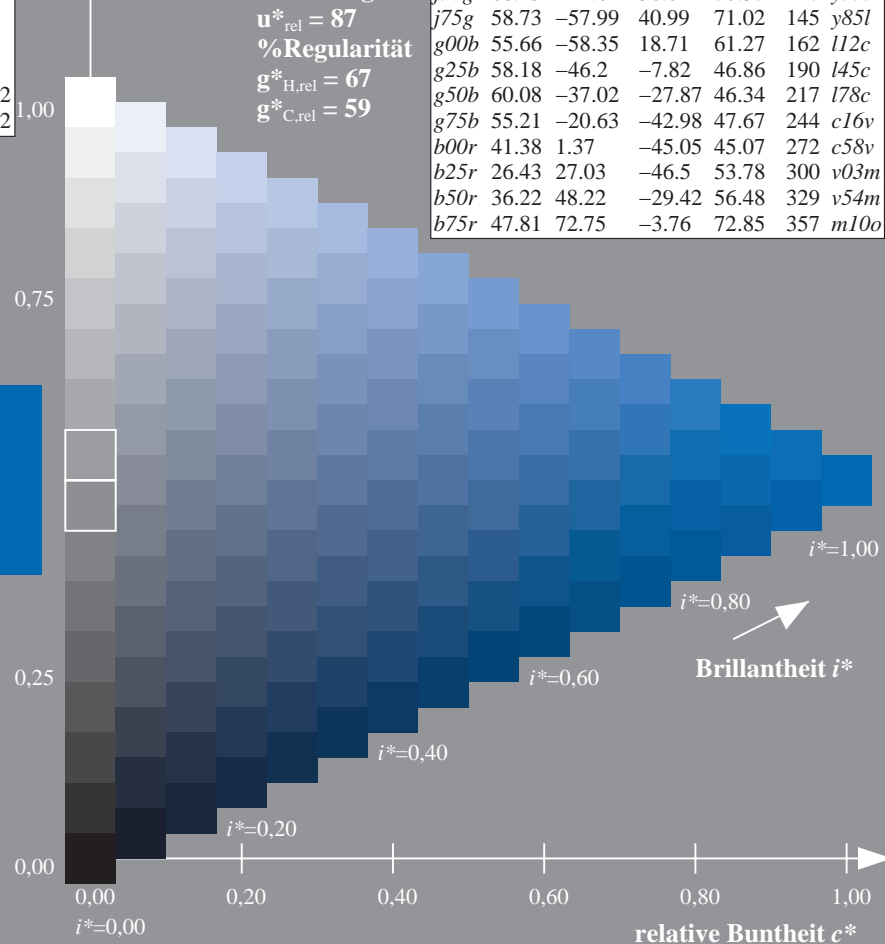
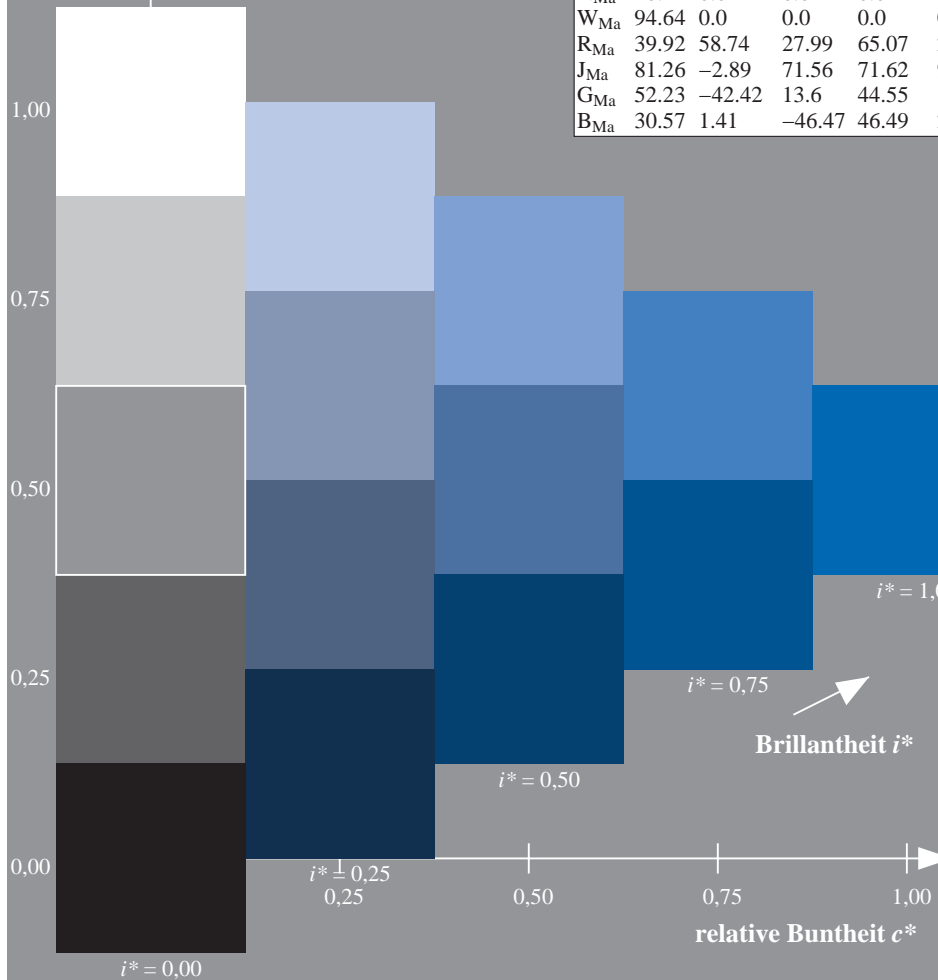
%Regularität

$g^*_{H,rel} = 67$

$g^*_{C,rel} = 59$

ORS20_95a; adaptierte CIELAB-Daten

u^*_e	$L^*=L^*_a$	a^*_a	b^*_a	$C^*_{ab,a}$	$h^*_{ab,a}$	u^*_d
r00j	47.06	67.41	32.12	74.67	25	m84o
r25j	53.95	53.38	48.38	72.04	42	o17y
r50j	63.6	35.87	59.45	69.43	59	o42y
r75j	73.37	18.14	70.66	72.95	76	o68y
j00g	85.24	-3.4	84.28	84.35	92	o93y
j25g	78.53	-25.99	72.23	76.76	110	y24l
j50g	68.25	-42.61	56.0	70.37	127	y55l
j75g	58.73	-57.99	40.99	71.02	145	y85l
g00b	55.66	-58.35	18.71	61.27	162	l12c
g25b	58.18	-46.2	-7.82	46.86	190	l45c
g50b	60.08	-37.02	-27.87	46.34	217	l78c
g75b	55.21	-20.63	-42.98	47.67	244	c16v
b00r	41.38	1.37	-45.05	45.07	272	c58v
b25r	26.43	27.03	-46.5	53.78	300	v03m
b50r	36.22	48.22	-29.42	56.48	329	v54m
b75r	47.81	72.75	-3.76	72.85	357	m10o



Fg530-7A, Seite 32/198

Ein und Ausgabe: Farbmatisches Drucker-Reflektiv-System ORS20_95, $L^*=20_95$ für relativen CIELAB-Bunnton $h^* = lab^*h^* = h_{ab}/360 = 0.755$ $u^*_e = b00r$

Daten für jede Farbe:

lab^*ch^* und lab^*icu^*

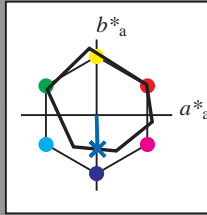
Bunntexte:

$u^*_e = b00r$ $u^*_d = c58v$

Kontrastreduzierungsfaktor:

$c_R = 1.0$

Dreiecks-Helligkeit t^*



ORS20_95a; adaptierte CIELAB-Daten

	u^*_e	$L^*=L^*_a$	a^*_a	b^*_a	$C^*_{ab,a}$	$h^*_{ab,a}$
O _{Ma}	46.89	66.19	40.28	77.48	31	
Y _{Ma}	88.66	-9.62	88.21	88.73	96	
L _{Ma}	54.22	-65.29	33.87	73.56	153	
C _{Ma}	61.43	-30.53	-42.04	51.96	234	
V _{Ma}	25.93	25.95	-47.37	54.01	299	
M _{Ma}	47.92	73.53	-9.02	74.08	353	
N _{Ma}	20.41	0.0	0.0	0.0	0	
W _{Ma}	94.64	0.0	0.0	0.0	0	
R _{Ma}	39.92	58.74	27.99	65.07	25	
J _{Ma}	81.26	-2.89	71.56	71.62	92	
G _{Ma}	52.23	-42.42	13.6	44.55	162	
B _{Ma}	30.57	1.41	-46.47	46.49	272	

Daten für Maximalfarbe (Ma):

$LAB^*LAB^*_{Ma}$: 41 1 -45

$LAB^*LCH^*_{Ma}$: 41 45 271

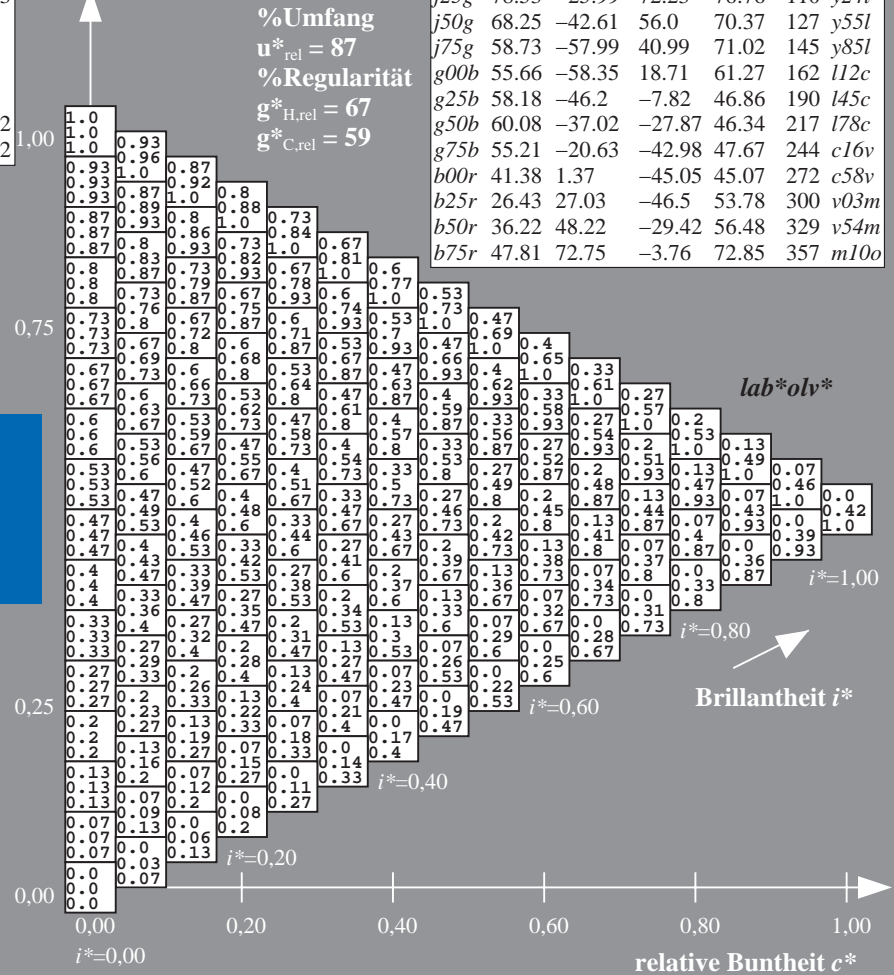
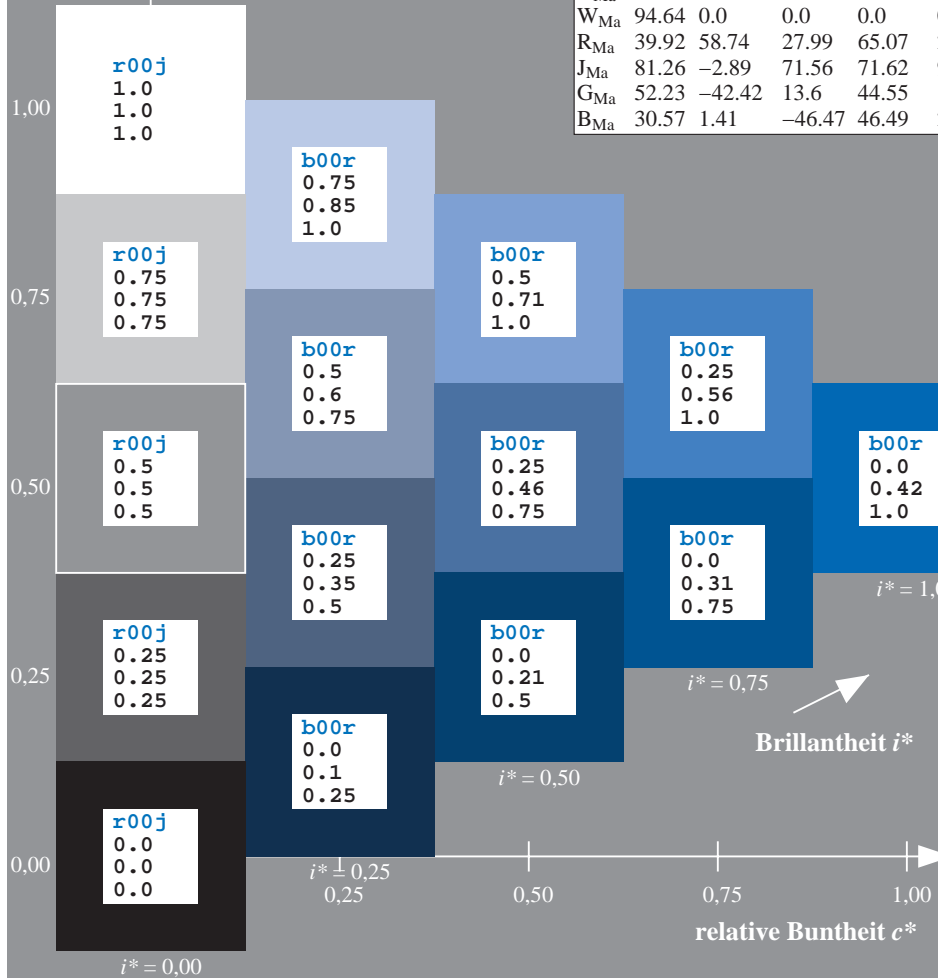
$lab^*rgb^*_{Ma}$: 0.0 0.0 1.0

$lab^*olv^*_{Ma}$: 0.0 0.42 1.0

Dreiecks-Helligkeit t^*

ORS20_95a; adaptierte CIELAB-Daten

	u^*_e	$L^*=L^*_a$	a^*_a	b^*_a	$C^*_{ab,a}$	$h^*_{ab,a}$	u^*_d
r00j	47.06	67.41	32.12	74.67	25	m84o	
r25j	53.95	53.38	48.38	72.04	42	o17y	
r50j	63.6	35.87	59.45	69.43	59	o42y	
r75j	73.37	18.14	70.66	72.95	76	o68y	
j00g	85.24	-3.4	84.28	84.35	92	o93y	
j25g	78.53	-25.99	72.23	76.76	110	y24l	
j50g	68.25	-42.61	56.0	70.37	127	y55l	
j75g	58.73	-57.99	40.99	71.02	145	y85l	
g00b	55.66	-58.35	18.71	61.27	162	l12c	
g25b	58.18	-46.2	-7.82	46.86	190	l45c	
g50b	60.08	-37.02	-27.87	46.34	217	l78c	
g75b	55.21	-20.63	-42.98	47.67	244	c16v	
b00r	41.38	1.37	-45.05	45.07	272	c58v	
b25r	26.43	27.03	-46.5	53.78	300	v03m	
b50r	36.22	48.22	-29.42	56.48	329	v54m	
b75r	47.81	72.75	-3.76	72.85	357	m10o	



Ein und Ausgabe: Farbmatisches Drucker-Reflektiv-System ORS20_95, $L^*=20_95$ für relativen CIELAB-Bunnton $h^* = lab^*h^* = h_{ab}/360 = 0.755$ $u^*_e = b00r$

Daten für jede Farbe:

lab^*tch^* und lab^*icu^*

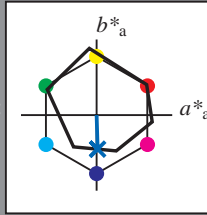
Buntontexte:

$u^*_e = b00r$ $u^*_d = c58v$

Kontrastreduzierungsfaktor:

$c_R = 1.0$

Dreiecks-Helligkeit t^*



ORS20_95a; adaptierte CIELAB-Daten

	u^*_e	$L^*=L^*_a$	a^*_a	b^*_a	$C^*_{ab,a}$	$h^*_{ab,a}$
O _{Ma}	46.89	66.19	40.28	77.48	31	
Y _{Ma}	88.66	-9.62	88.21	88.73	96	
L _{Ma}	54.22	-65.29	33.87	73.56	153	
C _{Ma}	61.43	-30.53	-42.04	51.96	234	
V _{Ma}	25.93	25.95	-47.37	54.01	299	
M _{Ma}	47.92	73.53	-9.02	74.08	353	
N _{Ma}	20.41	0.0	0.0	0.0	0	
W _{Ma}	94.64	0.0	0.0	0.0	0	
R _{Ma}	39.92	58.74	27.99	65.07	25	
J _{Ma}	81.26	-2.89	71.56	71.62	92	
G _{Ma}	52.23	-42.42	13.6	44.55	162	
B _{Ma}	30.57	1.41	-46.47	46.49	272	

Daten für Maximalfarbe (Ma):

$LAB^*LAB^*_{Ma}$: 41 1 -45

$LAB^*LCH^*_{Ma}$: 41 45 271

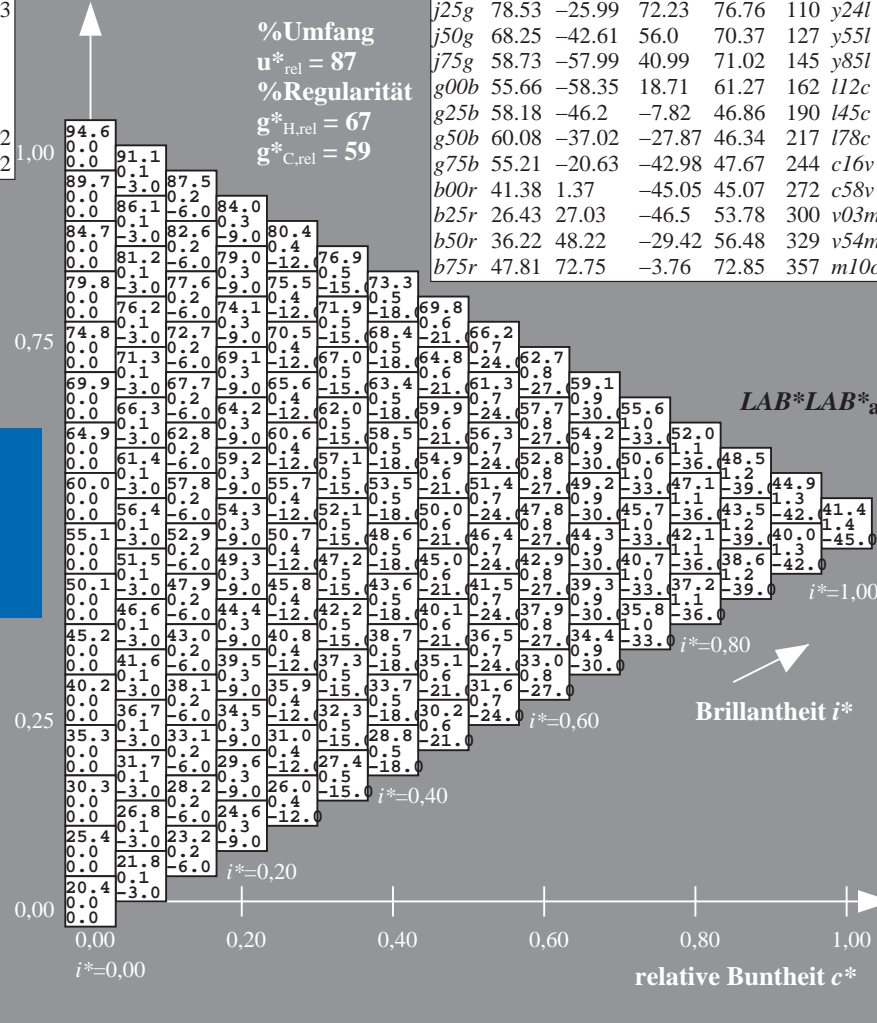
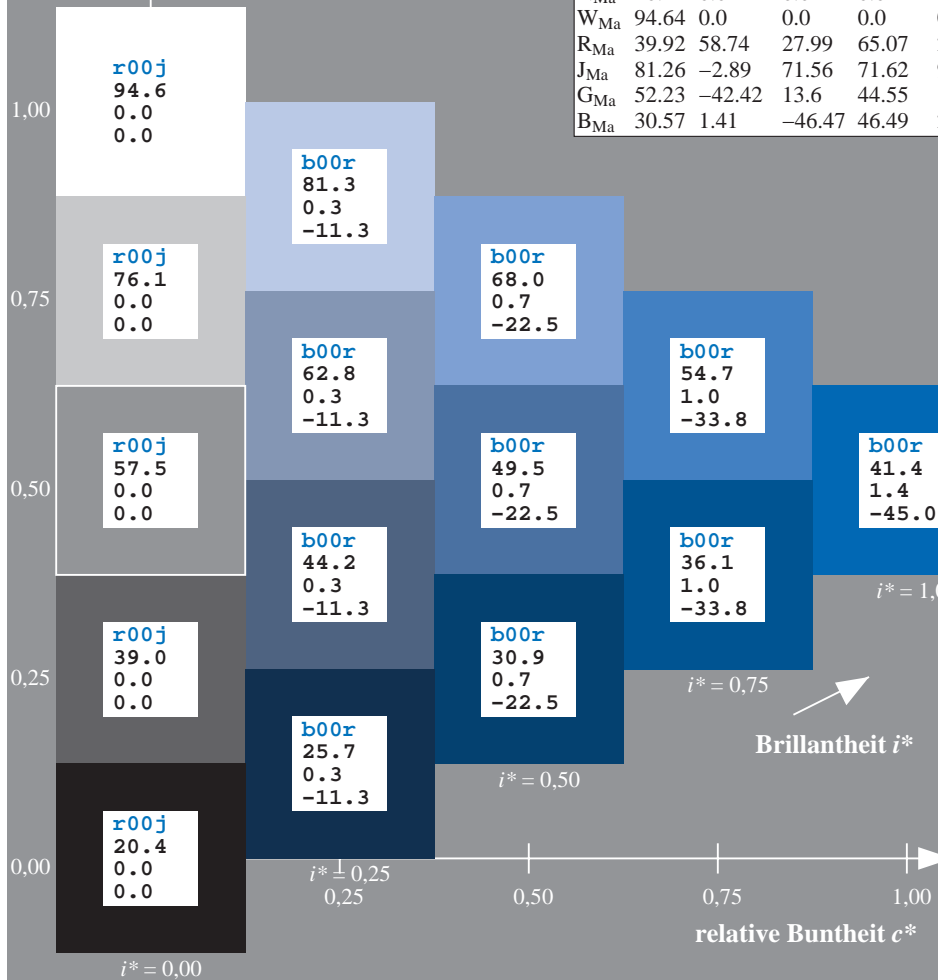
$lab^*rgb^*_{Ma}$: 0.0 0.0 1.0

$lab^*olv^*_{Ma}$: 0.0 0.42 1.0

Dreiecks-Helligkeit t^*

ORS20_95a; adaptierte CIELAB-Daten

	u^*_e	$L^*=L^*_a$	a^*_a	b^*_a	$C^*_{ab,a}$	$h^*_{ab,a}$	u^*_d
r00j	47.06	67.41	32.12	74.67	25	m84o	
r25j	53.95	53.38	48.38	72.04	42	o17y	
r50j	63.6	35.87	59.45	69.43	59	o42y	
r75j	73.37	18.14	70.66	72.95	76	o68y	
j00g	85.24	-3.4	84.28	84.35	92	o93y	
j25g	78.53	-25.99	72.23	76.76	110	y24l	
j50g	68.25	-42.61	56.0	70.37	127	y55l	
j75g	58.73	-57.99	40.99	71.02	145	y85l	
g00b	55.66	-58.35	18.71	61.27	162	l12c	
g25b	58.18	-46.2	-7.82	46.86	190	l45c	
g50b	60.08	-37.02	-27.87	46.34	217	l78c	
g75b	55.21	-20.63	-42.98	47.67	244	c16v	
b00r	41.38	1.37	-45.05	45.07	272	c58v	
b25r	26.43	27.03	-46.5	53.78	300	v03m	
b50r	36.22	48.22	-29.42	56.48	329	v54m	
b75r	47.81	72.75	-3.76	72.85	357	m10o	



%Umfang
 $u^*_{rel} = 87$
%Regularität
 $g^*_{H,rel} = 67$
 $g^*_{C,rel} = 59$

$LAB^*LAB^*_a$

$i^* = 1.00$

$i^* = 0.80$

Brillanzheit i^*

$i^* = 0.60$

$i^* = 0.40$

$i^* = 0.20$

$i^* = 0.00$

Ein und Ausgabe: Farbmatisches Drucker-Reflektiv-System ORS20_95, $L^*=20_95$ für relativen CIELAB-Bunnton $h^* = lab^*h^* = h_{ab}/360 = 0.755$ $u^*_e = b00r$

Daten für jede Farbe:

lab^*tch^* und lab^*icu^*

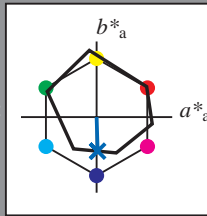
Buntontexte:

$u^*_e = b00r$ $u^*_d = c58v$

Kontrastreduzierungsfaktor:

$c_R = 1.0$

Dreiecks-Helligkeit t^*



ORS20_95a; adaptierte CIELAB-Daten

	u^*_e	$L^*=L^*_a$	a^*_a	b^*_a	$C^*_{ab,a}$	$h^*_{ab,a}$
O _{Ma}	46.89	66.19	40.28	77.48	31	
Y _{Ma}	88.66	-9.62	88.21	88.73	96	
L _{Ma}	54.22	-65.29	33.87	73.56	153	
C _{Ma}	61.43	-30.53	-42.04	51.96	234	
V _{Ma}	25.93	25.95	-47.37	54.01	299	
M _{Ma}	47.92	73.53	-9.02	74.08	353	
N _{Ma}	20.41	0.0	0.0	0.0	0	
W _{Ma}	94.64	0.0	0.0	0.0	0	
R _{Ma}	39.92	58.74	27.99	65.07	25	
J _{Ma}	81.26	-2.89	71.56	71.62	92	
G _{Ma}	52.23	-42.42	13.6	44.55	162	
B _{Ma}	30.57	1.41	-46.47	46.49	272	

Daten für Maximalfarbe (Ma):

$LAB^*LAB^*_{Ma}$: 41 1 -45

$LAB^*LCH^*_{Ma}$: 41 45 271

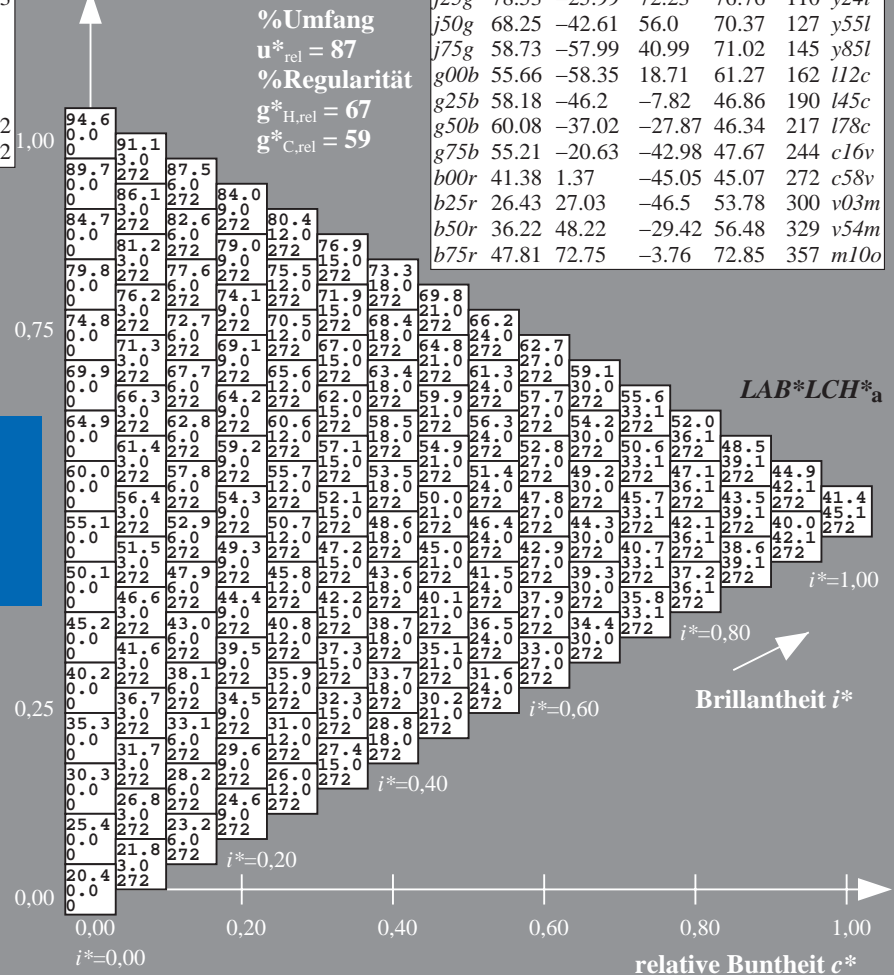
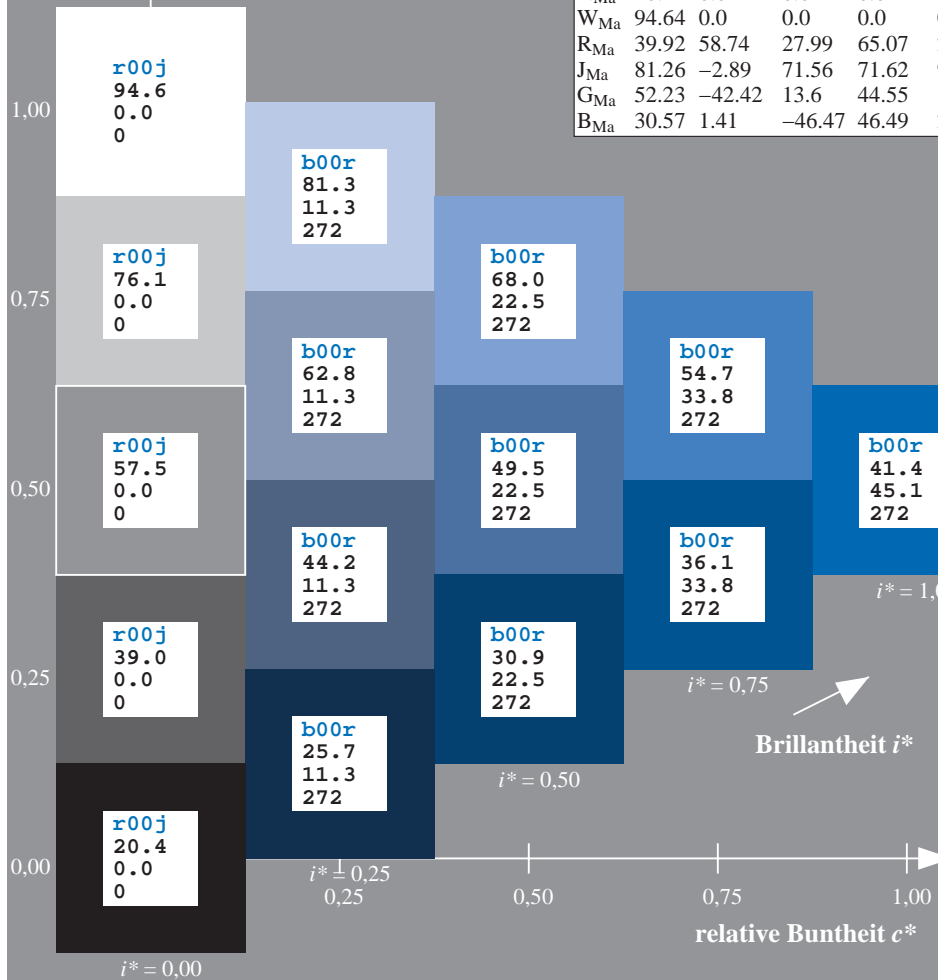
$lab^*rgb^*_{Ma}$: 0.0 0.0 1.0

$lab^*olv^*_{Ma}$: 0.0 0.42 1.0

Dreiecks-Helligkeit t^*

ORS20_95a; adaptierte CIELAB-Daten

	u^*_e	$L^*=L^*_a$	a^*_a	b^*_a	$C^*_{ab,a}$	$h^*_{ab,a}$	u^*_d
r00j	47.06	67.41	32.12	74.67	25	m84o	
r25j	53.95	53.38	48.38	72.04	42	o17y	
r50j	63.6	35.87	59.45	69.43	59	o42y	
r75j	73.37	18.14	70.66	72.95	76	o68y	
j00g	85.24	-3.4	84.28	84.35	92	o93y	
j25g	78.53	-25.99	72.23	76.76	110	y24l	
j50g	68.25	-42.61	56.0	70.37	127	y55l	
j75g	58.73	-57.99	40.99	71.02	145	y85l	
g00b	55.66	-58.35	18.71	61.27	162	l12c	
g25b	58.18	-46.2	-7.82	46.86	190	l45c	
g50b	60.08	-37.02	-27.87	46.34	217	l78c	
g75b	55.21	-20.63	-42.98	47.67	244	c16v	
b00r	41.38	1.37	-45.05	45.07	272	c58v	
b25r	26.43	27.03	-46.5	53.78	300	v03m	
b50r	36.22	48.22	-29.42	56.48	329	v54m	
b75r	47.81	72.75	-3.76	72.85	357	m10o	



%Umfang
 $u^*_{rel} = 87$
%Regularität
 $g^*_{H,rel} = 67$
 $g^*_{C,rel} = 59$

$LAB^*LCH^*_a$

Brillantheit i^*

$i^* = 1.00$

$i^* = 0.80$

$i^* = 0.60$

$i^* = 0.40$

$i^* = 0.20$

Ein und Ausgabe: Farbmatisches Drucker-Reflektiv-System ORS20_95, $L^*=20_95$ für relativen CIELAB-Bunnton $h^* = lab^*h^* = h_{ab}/360 = 0.755$ $u^*_e = b00r$

Daten für jede Farbe:

lab^*tch^* und lab^*icu^*

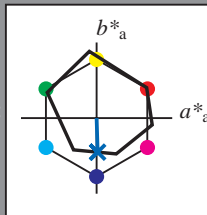
Buntontexte:

$u^*_e = b00r$ $u^*_d = c58v$

Kontrastreduzierungsfaktor:

$c_R = 1.0$

Dreiecks-Helligkeit t^*



ORS20_95a; adaptierte CIELAB-Daten

u^*_e	$L^*=L^*_a$	a^*_a	b^*_a	$C^*_{ab,a}$	$h^*_{ab,a}$
O _{Ma}	46.89	66.19	40.28	77.48	31
Y _{Ma}	88.66	-9.62	88.21	88.73	96
L _{Ma}	54.22	-65.29	33.87	73.56	153
C _{Ma}	61.43	-30.53	-42.04	51.96	234
V _{Ma}	25.93	25.95	-47.37	54.01	299
M _{Ma}	47.92	73.53	-9.02	74.08	353
N _{Ma}	20.41	0.0	0.0	0.0	0
W _{Ma}	94.64	0.0	0.0	0.0	0
R _{Ma}	39.92	58.74	27.99	65.07	25
J _{Ma}	81.26	-2.89	71.56	71.62	92
G _{Ma}	52.23	-42.42	13.6	44.55	162
B _{Ma}	30.57	1.41	-46.47	46.49	272

Daten für Maximalfarbe (Ma):

$LAB^*LAB^*_{Ma}$: 41 1 -45

$LAB^*LCH^*_{Ma}$: 41 45 271

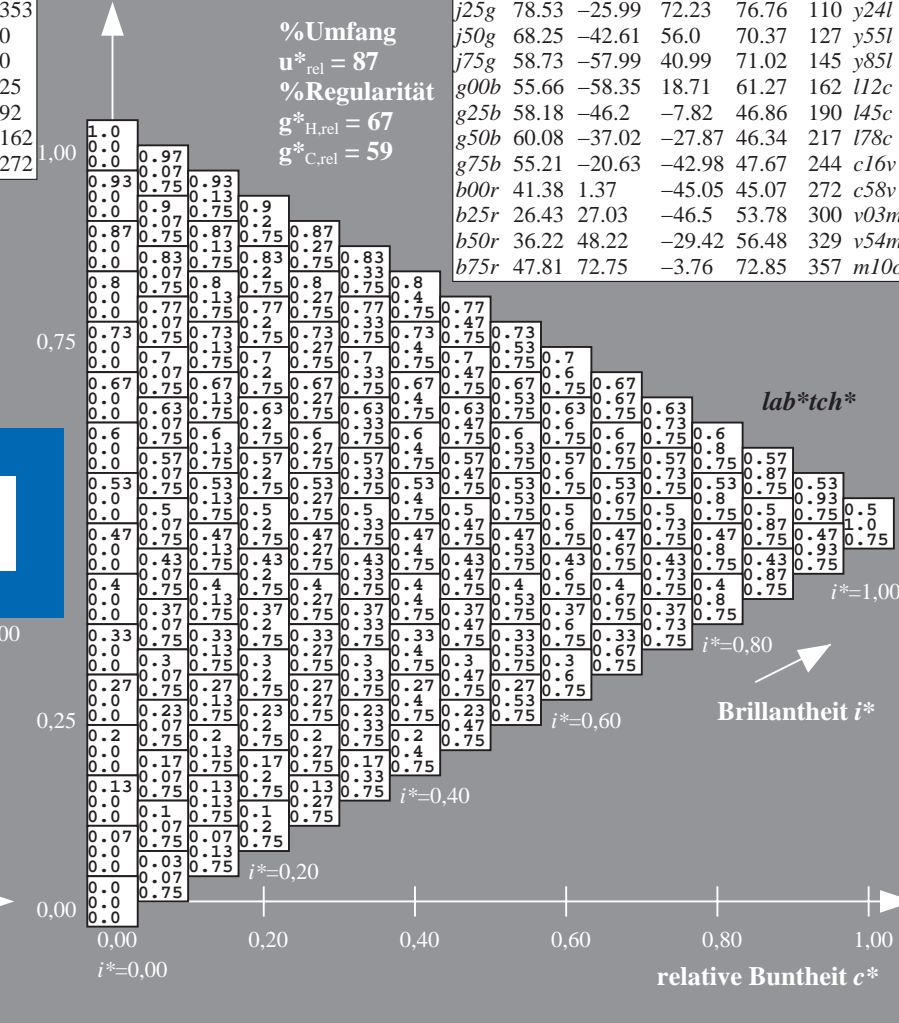
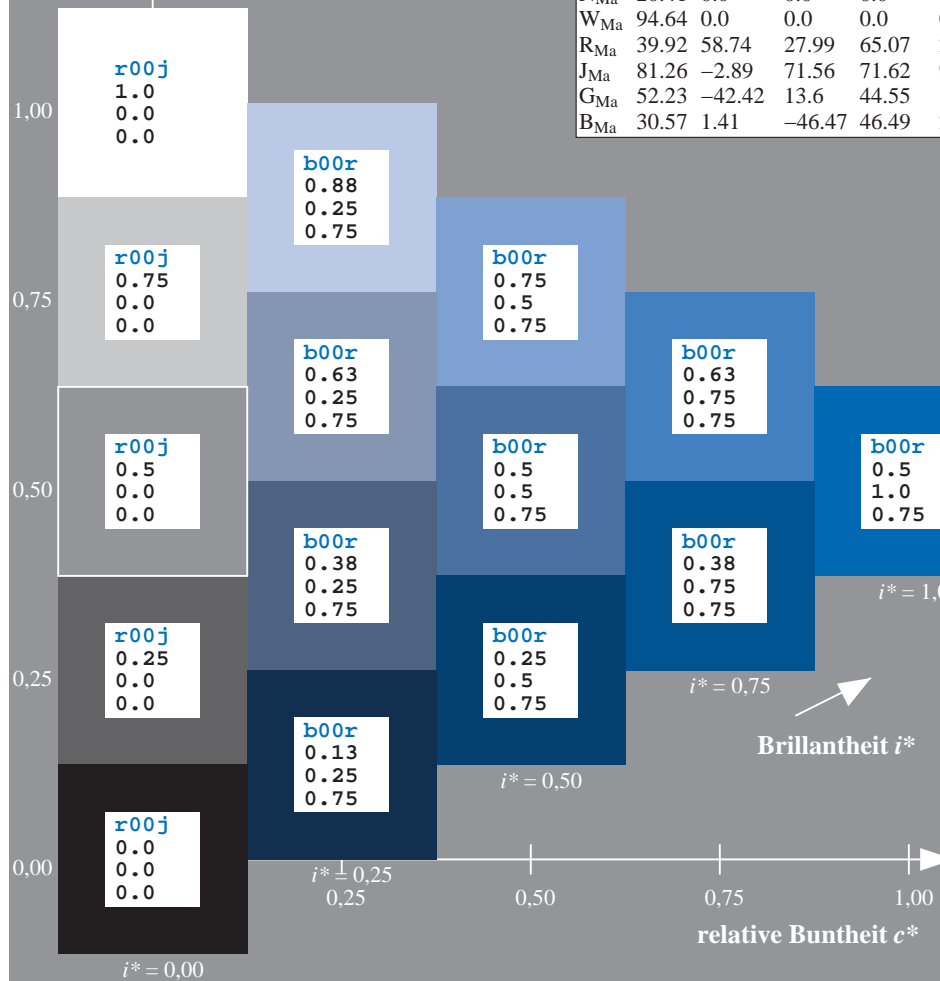
$lab^*rgb^*_{Ma}$: 0.0 0.0 1.0

$lab^*olv^*_{Ma}$: 0.0 0.42 1.0

Dreiecks-Helligkeit t^*

ORS20_95a; adaptierte CIELAB-Daten

u^*_e	$L^*=L^*_a$	a^*_a	b^*_a	$C^*_{ab,a}$	$h^*_{ab,a}$	u^*_d
r00j	47.06	67.41	32.12	74.67	25	m84o
r25j	53.95	53.38	48.38	72.04	42	o17y
r50j	63.6	35.87	59.45	69.43	59	o42y
r75j	73.37	18.14	70.66	72.95	76	o68y
j00g	85.24	-3.4	84.28	84.35	92	o93y
j25g	78.53	-25.99	72.23	76.76	110	y24l
j50g	68.25	-42.61	56.0	70.37	127	y55l
j75g	58.73	-57.99	40.99	71.02	145	y85l
g00b	55.66	-58.35	18.71	61.27	162	l12c
g25b	58.18	-46.2	-7.82	46.86	190	l45c
g50b	60.08	-37.02	-27.87	46.34	217	l78c
g75b	55.21	-20.63	-42.98	47.67	244	c16v
b00r	41.38	1.37	-45.05	45.07	272	c58v
b25r	26.43	27.03	-46.5	53.78	300	v03m
b50r	36.22	48.22	-29.42	56.48	329	v54m
b75r	47.81	72.75	-3.76	72.85	357	m10o



Fg530-7A, Seite 122/198

Ein und Ausgabe: Farbmatisches Drucker-Reflektiv-System ORS20_95, $L^*=20_95$ für relativen CIELAB-Bunnton $h^* = lab^*h^* = h_{ab}/360 = 0.755$ $u^*_e = b00r$
 $lab^*icu^*_d$

Daten für jede Farbe:

lab^*tch^* und lab^*icu^*

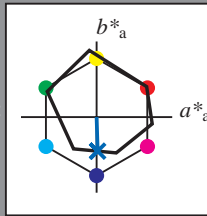
Buntontexte:

$u^*_e = b00r$ $u^*_d = c58v$

Kontrastreduzierungsfaktor:

$c_R = 1.0$

Dreiecks-Helligkeit t^*



ORS20_95a; adaptierte CIELAB-Daten

u^*_e	$L^*=L^*_a$	a^*_a	b^*_a	$C^*_{ab,a}$	$h^*_{ab,a}$
O _{Ma}	46.89	66.19	40.28	77.48	31
Y _{Ma}	88.66	-9.62	88.21	88.73	96
L _{Ma}	54.22	-65.29	33.87	73.56	153
C _{Ma}	61.43	-30.53	-42.04	51.96	234
V _{Ma}	25.93	25.95	-47.37	54.01	299
M _{Ma}	47.92	73.53	-9.02	74.08	353
N _{Ma}	20.41	0.0	0.0	0.0	0
W _{Ma}	94.64	0.0	0.0	0.0	0
R _{Ma}	39.92	58.74	27.99	65.07	25
J _{Ma}	81.26	-2.89	71.56	71.62	92
G _{Ma}	52.23	-42.42	13.6	44.55	162
B _{Ma}	30.57	1.41	-46.47	46.49	272

Daten für Maximalfarbe (Ma):

$LAB^*LAB^*_{Ma}$: 41 1 -45

$LAB^*LCH^*_{Ma}$: 41 45 271

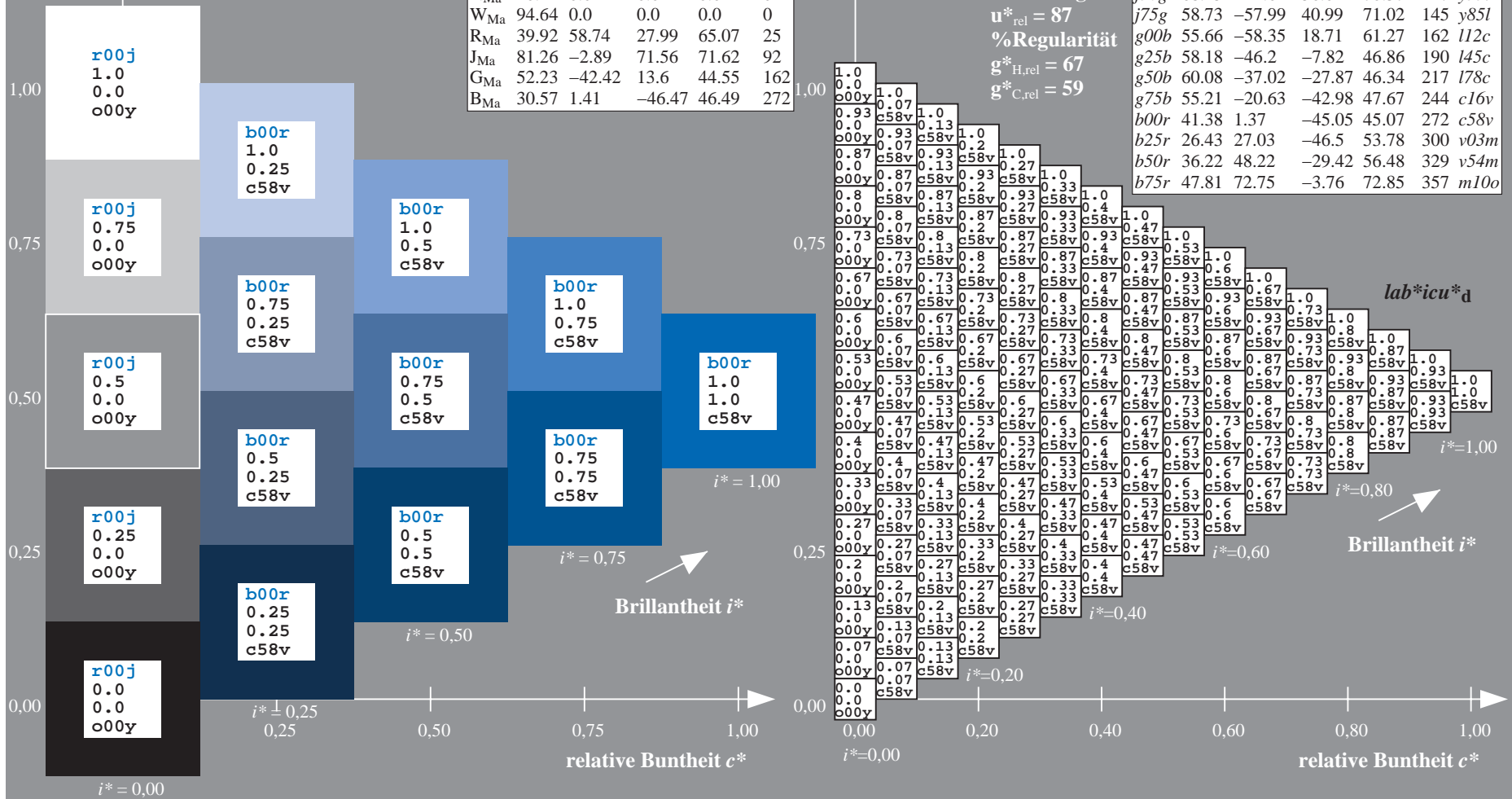
$lab^*rgb^*_{Ma}$: 0.0 0.0 1.0

$lab^*olv^*_{Ma}$: 0.0 0.42 1.0

Dreiecks-Helligkeit t^*

ORS20_95a; adaptierte CIELAB-Daten

u^*_e	$L^*=L^*_a$	a^*_a	b^*_a	$C^*_{ab,a}$	$h^*_{ab,a}$	u^*_d
r00j	47.06	67.41	32.12	74.67	25	m84o
r25j	53.95	53.38	48.38	72.04	42	o17y
r50j	63.6	35.87	59.45	69.43	59	o42y
r75j	73.37	18.14	70.66	72.95	76	o68y
j00g	85.24	-3.4	84.28	84.35	92	o93y
j25g	78.53	-25.99	72.23	76.76	110	y24l
j50g	68.25	-42.61	56.0	70.37	127	y55l
j75g	58.73	-57.99	40.99	71.02	145	y85l
g00b	55.66	-58.35	18.71	61.27	162	l12c
g25b	58.18	-46.2	-7.82	46.86	190	l45c
g50b	60.08	-37.02	-27.87	46.34	217	l78c
g75b	55.21	-20.63	-42.98	47.67	244	c16v
b00r	41.38	1.37	-45.05	45.07	272	c58v
b25r	26.43	27.03	-46.5	53.78	300	v03m
b50r	36.22	48.22	-29.42	56.48	329	v54m
b75r	47.81	72.75	-3.76	72.85	357	m10o



Ein und Ausgabe: Farbmatisches Drucker-Reflektiv-System ORS20_95, $L^*=20_95$ für relativen CIELAB-Bunnton $h^* = lab^*h^* = h_{ab}/360 = 0.755$ $u^*_e = b00r$

Daten für jede Farbe:

lab^*tch^* und lab^*icu^*

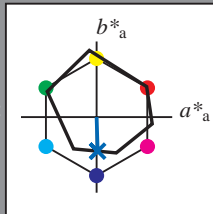
Bunntexte:

$u^*_e = b00r$ $u^*_d = c58v$

Kontrastreduzierungsfaktor:

$c_R = 1.0$

Dreiecks-Helligkeit t^*



ORS20_95; CIELAB-Daten						
u^*_e	$L^*=L^*_a$	a^*_a	b^*_a	C^*_{ab}	h^*_{ab}	
O _M	46.89	66.08	41.48	78.02	32	
Y _M	88.66	-10.34	90.28	90.87	97	
L _M	54.22	-65.51	35.22	74.38	152	
C _M	61.43	-30.85	-40.54	50.94	233	
V _M	25.93	26.15	-46.61	53.44	299	
M _M	47.92	73.41	-7.8	73.82	354	
N _M	20.41	0.28	0.64	0.7	66	
W _M	94.64	-0.81	2.2	2.34	110	
R _M	39.92	58.74	27.99	65.07	25	
J _M	81.26	-2.89	71.56	71.62	92	
G _M	52.23	-42.42	13.6	44.55	162	
B _M	30.57	1.41	-46.47	46.49	272	

Daten für Maximalfarbe (Ma):

$LAB^*LAB^*_Ma: 41\ 1\ -45$

$LAB^*LCH^*_Ma: 41\ 45\ 271$

$lab^*rgb^*_Ma: 0.0\ 0.0\ 1.0$

$lab^*olv^*_Ma: 0.0\ 0.42\ 1.0$

Dreiecks-Helligkeit t^*

%Umfang

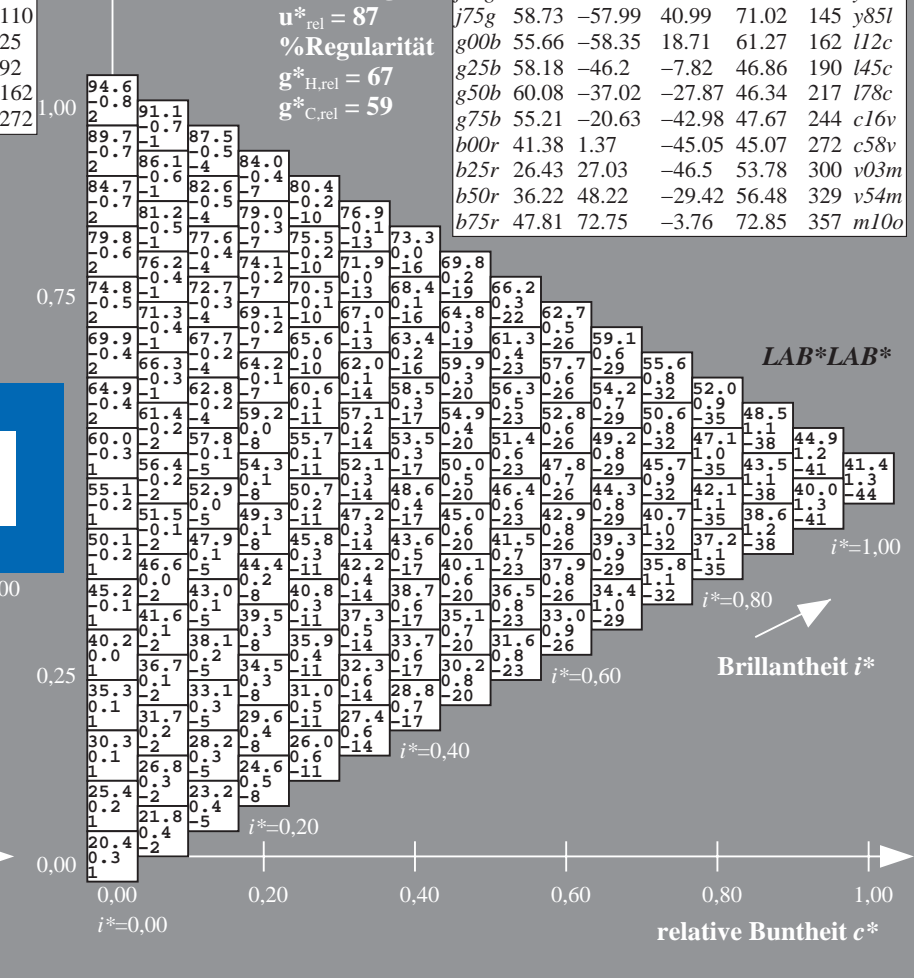
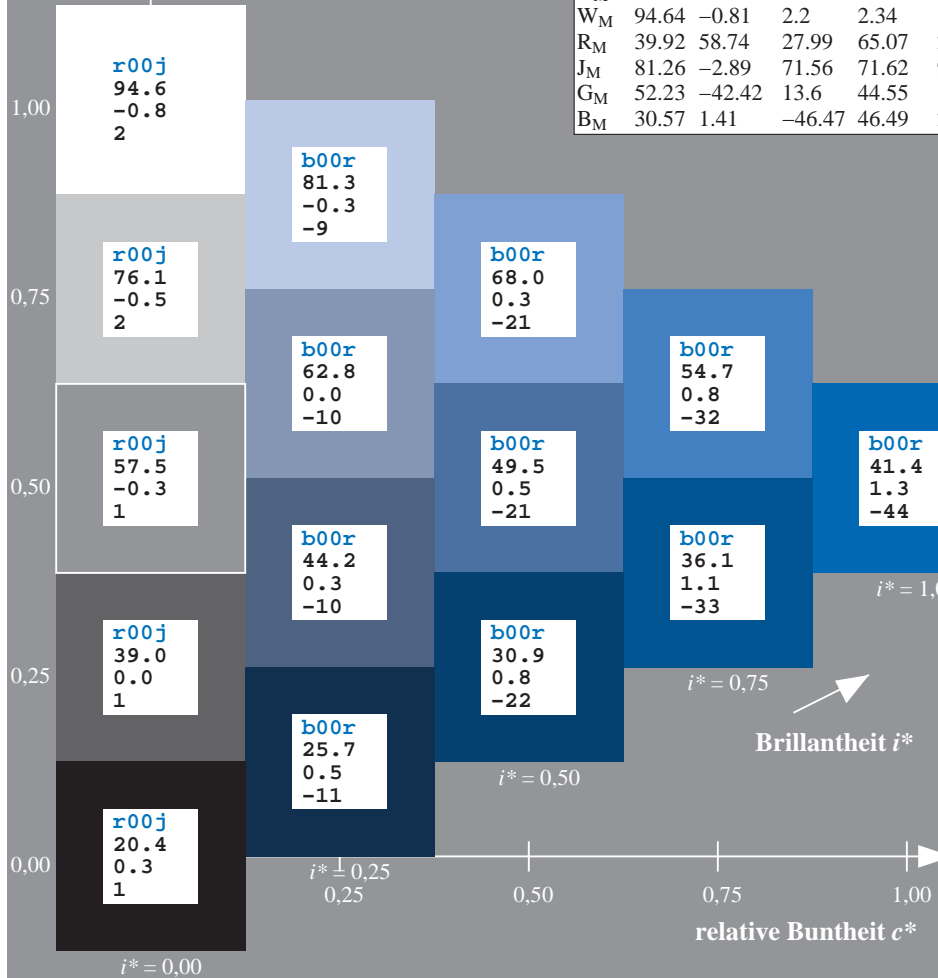
$u^*_{rel} = 87$

%Regularität

$g^*_{H,rel} = 67$

$g^*_{C,rel} = 59$

ORS20_95a; adaptierte CIELAB-Daten							
u^*_e	$L^*=L^*_a$	a^*_a	b^*_a	$C^*_{ab,a}$	$h^*_{ab,a}$	u^*_d	
r00j	47.06	67.41	32.12	74.67	25	m84o	
r25j	53.95	53.38	48.38	72.04	42	o17y	
r50j	63.6	35.87	59.45	69.43	59	o42y	
r75j	73.37	18.14	70.66	72.95	76	o68y	
j00g	85.24	-3.4	84.28	84.35	92	o93y	
j25g	78.53	-25.99	72.23	76.76	110	y24l	
j50g	68.25	-42.61	56.0	70.37	127	y55l	
j75g	58.73	-57.99	40.99	71.02	145	y85l	
g00b	55.66	-58.35	18.71	61.27	162	l12c	
g25b	58.18	-46.2	-7.82	46.86	190	l45c	
g50b	60.08	-37.02	-27.87	46.34	217	l78c	
g75b	55.21	-20.63	-42.98	47.67	244	c16v	
b00r	41.38	1.37	-45.05	45.07	272	c58v	
b25r	26.43	27.03	-46.5	53.78	300	v03m	
b50r	36.22	48.22	-29.42	56.48	329	v54m	
b75r	47.81	72.75	-3.76	72.85	357	m10o	



Ein und Ausgabe: Farbmatisches Drucker-Reflektiv-System ORS20_95, $L^*=20_95$ für relativen CIELAB-Bunnton $h^* = lab^*h^* = h_{ab}/360 = 0.755$ $u^*_e = b00r$

Daten für jede Farbe:

lab^*tch^* und lab^*icu^*

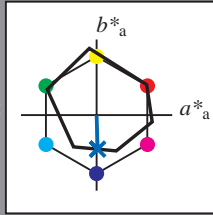
Bunntexte:

$u^*_e = b00r$ $u^*_d = c58v$

Kontrastreduzierungsfaktor:

$c_R = 1.0$

Dreiecks-Helligkeit t^*



ORS20_95a; CIELAB-Daten						
u^*_e	$L^*=L^*_a$	a^*_a	b^*_a	C^*_{ab}	h^*_{ab}	
O _M	46.89	66.08	41.48	78.02	32	
Y _M	88.66	-10.34	90.28	90.87	97	
L _M	54.22	-65.51	35.22	74.38	152	
C _M	61.43	-30.85	-40.54	50.94	233	
V _M	25.93	26.15	-46.61	53.44	299	
M _M	47.92	73.41	-7.8	73.82	354	
N _M	20.41	0.28	0.64	0.7	66	
W _M	94.64	-0.81	2.2	2.34	110	
R _M	39.92	58.74	27.99	65.07	25	
J _M	81.26	-2.89	71.56	71.62	92	
G _M	52.23	-42.42	13.6	44.55	162	
B _M	30.57	1.41	-46.47	46.49	272	

Daten für Maximalfarbe (Ma):

$LAB^*LAB^*_Ma: 41\ 1\ -45$

$LAB^*LCH^*_Ma: 41\ 45\ 271$

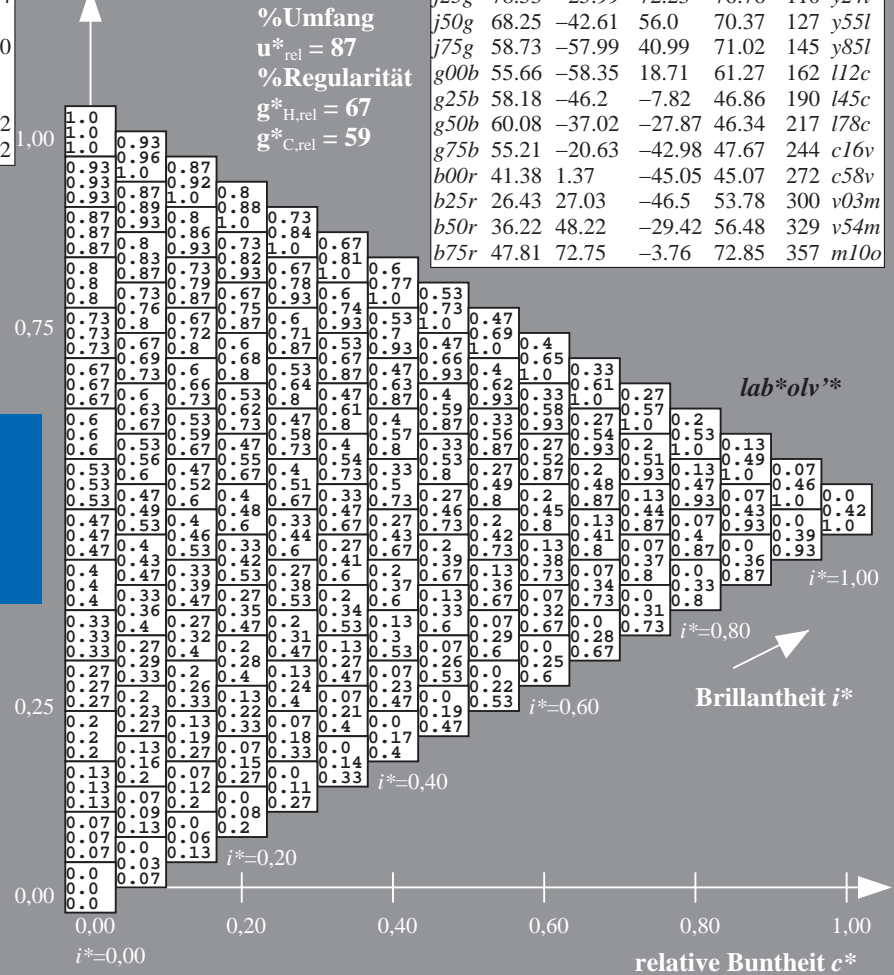
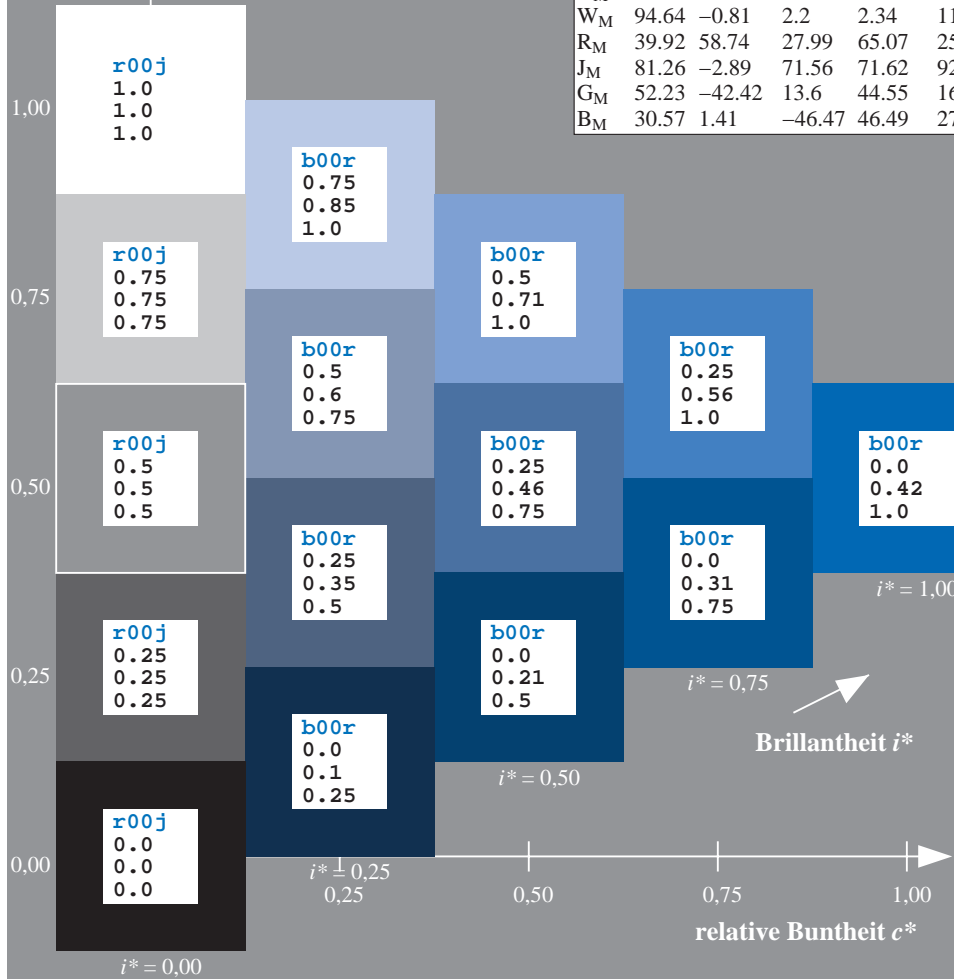
$lab^*rgb^*_Ma: 0.0\ 0.0\ 1.0$

$lab^*olv^*_Ma: 0.0\ 0.42\ 1.0$

Dreiecks-Helligkeit t^*

ORS20_95a; adaptierte CIELAB-Daten

u^*_e	$L^*=L^*_a$	a^*_a	b^*_a	$C^*_{ab,a}$	$h^*_{ab,a}$	u^*_d
r00j	47.06	67.41	32.12	74.67	25	m84o
r25j	53.95	53.38	48.38	72.04	42	o17y
r50j	63.6	35.87	59.45	69.43	59	o42y
r75j	73.37	18.14	70.66	72.95	76	o68y
j00g	85.24	-3.4	84.28	84.35	92	o93y
j25g	78.53	-25.99	72.23	76.76	110	y24l
j50g	68.25	-42.61	56.0	70.37	127	y55l
j75g	58.73	-57.99	40.99	71.02	145	y85l
g00b	55.66	-58.35	18.71	61.27	162	l12c
g25b	58.18	-46.2	-7.82	46.86	190	l45c
g50b	60.08	-37.02	-27.87	46.34	217	l78c
g75b	55.21	-20.63	-42.98	47.67	244	c16v
b00r	41.38	1.37	-45.05	45.07	272	c58v
b25r	26.43	27.03	-46.5	53.78	300	v03m
b50r	36.22	48.22	-29.42	56.48	329	v54m
b75r	47.81	72.75	-3.76	72.85	357	m10o



%Umfang
 $u^*_{rel} = 87$
 %Regularität
 $g^*_{H,rel} = 67$
 $g^*_{C,rel} = 59$

Ein und Ausgabe: Farbmatisches Drucker-Reflektiv-System ORS20_95, $L^*=20_95$ für relativen CIELAB-Bunnton $h^* = lab^*h^* = h_{ab}/360 = 0.755$ $u^*_e = b00r$

Daten für jede Farbe:

lab^*ch^* und lab^*icu^*

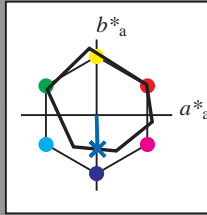
Bunntexte:

$u^*_e = b00r$ $u^*_d = c58v$

Kontrastreduzierungsfaktor:

$c_R = 1.0$

Dreiecks-Helligkeit t^*



ORS20_95a; CIELAB-Daten						
	u^*_e	$L^*=L^*$	a^*	b^*	C^*_{ab}	h^*_{ab}
O _M	46.89	66.08	41.48	78.02	32	
Y _M	88.66	-10.34	90.28	90.87	97	
L _M	54.22	-65.51	35.22	74.38	152	
C _M	61.43	-30.85	-40.54	50.94	233	
V _M	25.93	26.15	-46.61	53.44	299	
M _M	47.92	73.41	-7.8	73.82	354	
N _M	20.41	0.28	0.64	0.7	66	
W _M	94.64	-0.81	2.2	2.34	110	
R _M	39.92	58.74	27.99	65.07	25	
J _M	81.26	-2.89	71.56	71.62	92	
G _M	52.23	-42.42	13.6	44.55	162	
B _M	30.57	1.41	-46.47	46.49	272	

Daten für Maximalfarbe (Ma):

$LAB^*LAB^*_{Ma}$: 41 1 -45

$LAB^*LCH^*_{Ma}$: 41 45 271

$lab^*rgb^*_{Ma}$: 0.0 0.0 1.0

$lab^*olv^*_{Ma}$: 0.0 0.42 1.0

Dreiecks-Helligkeit t^*

%Umfang

$u^*_{rel} = 87$

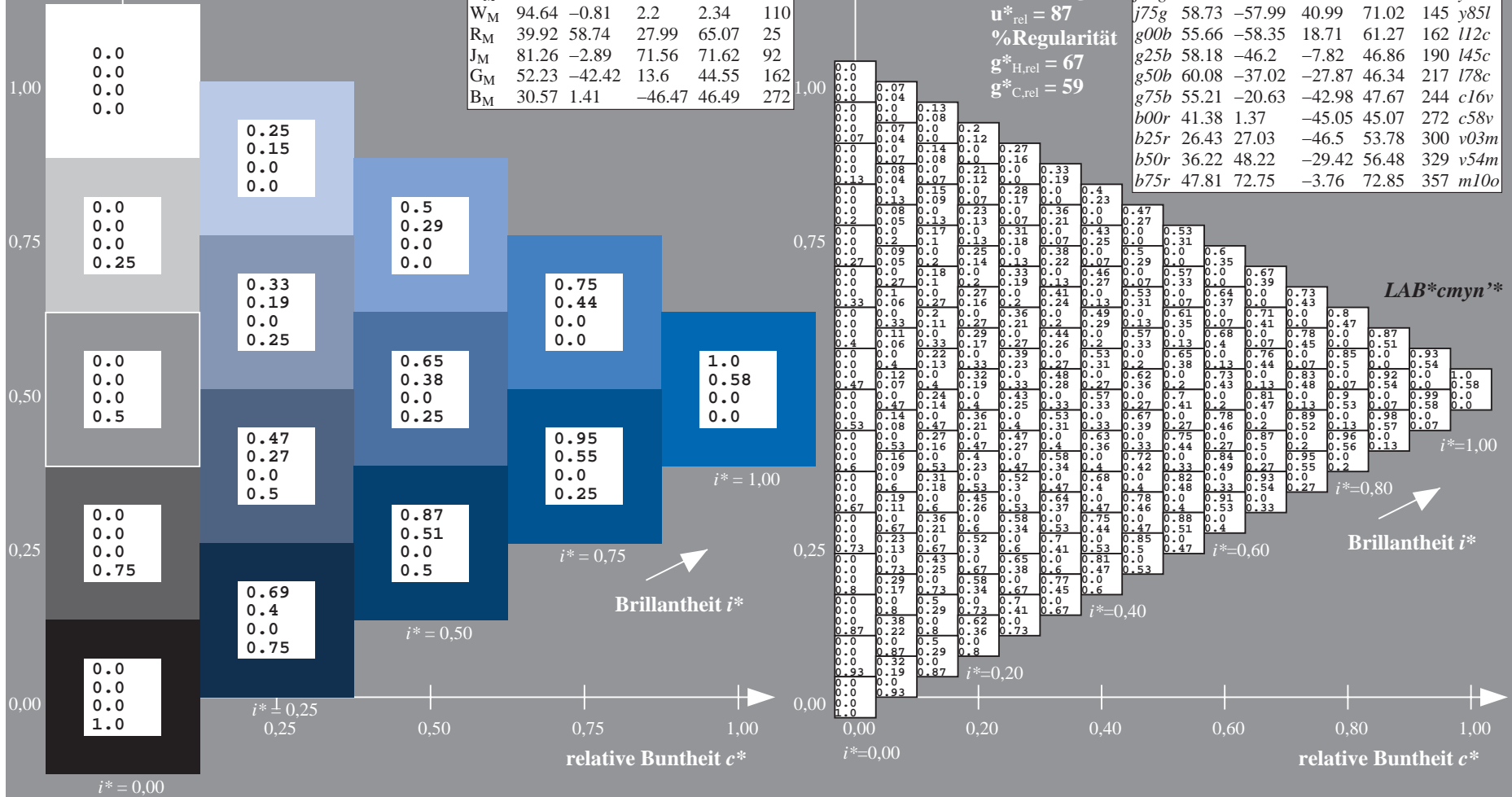
%Regularität

$g^*_{H,rel} = 67$

$g^*_{C,rel} = 59$

ORS20_95a; adaptierte CIELAB-Daten

	u^*_e	$L^*=L^*_a$	a^*_a	b^*_a	$C^*_{ab,a}$	$h^*_{ab,a}$	u^*_d
r00j	47.06	67.41	32.12	74.67	25	m84o	
r25j	53.95	53.38	48.38	72.04	42	o17y	
r50j	63.6	35.87	59.45	69.43	59	o42y	
r75j	73.37	18.14	70.66	72.95	76	o68y	
j00g	85.24	-3.4	84.28	84.35	92	o93y	
j25g	78.53	-25.99	72.23	76.76	110	y24l	
j50g	68.25	-42.61	56.0	70.37	127	y55l	
j75g	58.73	-57.99	40.99	71.02	145	y85l	
g00b	55.66	-58.35	18.71	61.27	162	l12c	
g25b	58.18	-46.2	-7.82	46.86	190	l45c	
g50b	60.08	-37.02	-27.87	46.34	217	l78c	
g75b	55.21	-20.63	-42.98	47.67	244	c16v	
b00r	41.38	1.37	-45.05	45.07	272	c58v	
b25r	26.43	27.03	-46.5	53.78	300	v03m	
b50r	36.22	48.22	-29.42	56.48	329	v54m	
b75r	47.81	72.75	-3.76	72.85	357	m10o	



Fg530-7A, Seite 194/198